

Exercices : 07 - Polarisation

— Solutions —

A. Polarisation rectiligne

1. Loi de Malus

Réponses : $I = I_0 \cos^2 \theta$, $\frac{\Delta I}{I} \simeq 6\%$, $\frac{\Delta I}{I} \simeq 89\%$, très sensible au voisinage de l'extinction ($\frac{\pi}{2}$).

2. Polarimètre de Laurent

Réponses : faire un schéma dans le plan perpendiculaire à la direction de propagation et représenter les différents directions et les champs électriques concernés par le problème, $I_1 = I_0 \cos^2 \varphi$, $I_2 = I_0 \cos^2(\varphi + 2\epsilon)$; $\varphi = \pi/2 - \epsilon$; $\epsilon = 13^\circ$; $\Delta\varphi \approx 0, 1^\circ$ très sensible.

3. Filtre de Lyot

Réponses : L'onde incidente se met sous la forme $\vec{E} = E_0 \exp j(\omega t - kz) \vec{u}$ soit $\vec{E} = \underline{E} \vec{u} = \frac{E_0}{\sqrt{2}} (\vec{e}_x + \vec{e}_y)$ par définition de \vec{u} . Après la lame (L), on a un champ $\vec{E}' = \frac{E_0}{\sqrt{2}} (\vec{e}_x + \vec{e}_y \exp -j\varphi)$. Après le polariseur (P), on obtient le champ projeté sur \vec{u} : $\vec{E}'' = \frac{1}{\sqrt{2}} (E'_x + E'_y) \vec{u} = \frac{1}{2} \underline{E} (1 + \exp -j\varphi) \vec{u}$. On calcule alors les éclairagements avant (\mathcal{E}) et après (\mathcal{E}'') le système complet en utilisant les notations réelles : $\mathcal{E} = \langle E^2 \rangle = \langle E_0^2 \cos^2(\omega t - kz) \rangle = \frac{E_0^2}{2}$ et $\mathcal{E}'' = \langle E''^2 \rangle = \frac{1}{4} E_0^2 \langle \cos^2(\omega t - kz) + \cos^2(\omega t - kz - \varphi) + 2 \cos(\omega t - kz) \cos(\omega t - kz - \varphi) \rangle$. On développe le dernier cosinus et on calcule les moyennes, d'où $\mathcal{E}'' = \langle E''^2 \rangle = \frac{1}{4} E_0^2 (\frac{1}{2} + \frac{1}{2} + 0 + \cos \varphi)$ soit $\mathcal{E}'' = \frac{1}{4} E_0^2 [1 + \cos \varphi]$ donc $T = \frac{\mathcal{E}''}{\mathcal{E}} = \frac{1 + \cos \varphi}{2} = \cos^2 \frac{\varphi}{2}$. Remarque : en restant en complexes, on peut calculer la moyenne temporelle avec la formule $\langle X^2 \rangle = \frac{1}{2} \Re(\underline{X} \underline{X}^*)$ et on trouve le même résultat final. Puisque chaque cellule a une épaisseur différente, la périodicité de T change pour chaque cellule et l'ensemble de celles-ci présente une transmittance $T_{\text{total}} = T_e T_{2e} T_{2^2 e} \dots T_{2^{N-1} e}$, c'est-à-dire $T_{\text{total}} = \cos^2 \frac{\varphi}{2} \cos^2 \varphi \cos^2 2\varphi \dots \cos^2 2^{N-2} \varphi$. On peut interpréter le filtrage en représentant les transmittances de chaque cellule (ici les 3 premières) de façon superposée à la figure 1.

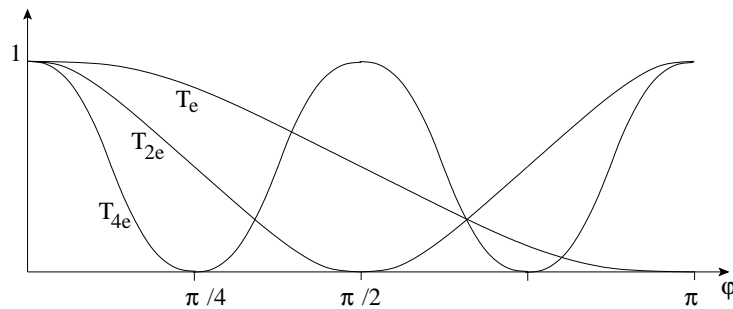


FIGURE 1 – Transmittance dans le cadre du filtre de LYOT

On voit que le produit de ces fonctions vaut 1 en $\varphi = 0 [2\pi]$ et est négligeable sinon. Ainsi, un tel dispositif sélectionne uniquement ces valeurs de φ , soit dans le visible uniquement la longueur d'onde $\lambda_0 = \lambda_c$, d'où le nom de filtre. Un spectroscopie à réseau ne fonctionne que pour une source de type fente-rectiligne (fine pour avoir une meilleure résolution). Pour une photo monochromatique du Soleil, il faudrait en balayer des bandes fines, ce qui est long à faire et ne permet pas d'étudier les tâches d'évolution rapide à sa surface.

4. Pouvoir rotatoire

Réponses : I_2 max, soit la substance fait tourner dans un sens de 80° , soit de 100° dans l'autre sens, dans le premier cas $[\alpha^0] = 4 \times 10^{-3} \cdot \text{g}^{-1} \cdot \text{m}^2$, dans le second $[\alpha^0] = -5 \times 10^{-3} \cdot \text{g}^{-1} \cdot \text{m}^2$.

5. Mesure de pouvoir rotatoire

Réponses : $\varphi = 58^\circ$, $a = 0$, $b = 193192^\circ \cdot \text{nm}$; $\frac{b}{\lambda_k} = (2k + 1)90^\circ$ avec $k \in \mathbb{N}$, 2 cannelures sombres, $\lambda_1 = 716 \text{ nm}$, $\lambda_2 = 429 \text{ nm}$; $\lambda'_k = \frac{b}{\varphi + (2k+1)90^\circ} < \lambda_k$, vers le rouge.

B. Polarisation circulaire

6. Polarisation circulaire et modèle de pouvoir rotatoire

Réponses : $W_x(\frac{\omega^2}{c_0^2} - k^2) = -i\gamma\omega W_y$ et $W_y(\frac{\omega^2}{c_0^2} - k^2) = i\gamma\omega W_x$, $(\frac{\omega^2}{c_0^2} - k^2) = \pm\gamma\omega$, $k_+ = \frac{\omega}{c_0}\sqrt{1 + \frac{\gamma c_0^2}{\omega}}$ et $k_- = \frac{\omega}{c_0}\sqrt{1 - \frac{\gamma c_0^2}{\omega}}$, pour k_+ on a $W_y = -iW_x$ elliptique gauche, pour k_- on a $W_y = iW_x$ elliptique droite, $\vec{W} = \vec{W}_+ + \vec{W}_-$, $\vec{W} = (W_{+x}\vec{e}_x - iW_{+x}\vec{e}_y)\exp i(\omega t - k_+z) + (W_{-x}\vec{e}_x + iW_{-x}\vec{e}_y)\exp i(\omega t - k_-z)$ avec $\vec{W}(z=0) = W_0\vec{e}_x\exp i\omega t$ d'où $W_+ = W_- = \frac{W_0}{2}$, $\vec{W}(e, t) = \frac{W_0}{2}\exp i(\omega t - k_+e)[\vec{e}_x(1 + \exp i\theta) - i\vec{e}_y(1 - \exp i\theta)]$, superposition de deux ondes une polarisation circulaire gauche $\vec{e}_x - i\vec{e}_y$ et une polarisation circulaire droite $\exp i\theta(\vec{e}_x + i\vec{e}_y)$ déphasée de θ par rapport à la première, en factorisant par $\exp i\frac{\theta}{2}$, on montre que l'on a une polarisation rectiligne puisque $\vec{W}(e, t) = \frac{W_0}{2}\exp i(\omega t - k_+e + \frac{\theta}{2})[\vec{e}_x(\exp -i\frac{\theta}{2} + \exp i\frac{\theta}{2}) - i\vec{e}_y(\exp -i\frac{\theta}{2} - \exp i\frac{\theta}{2})]$ d'où $\vec{W}(e, t) = W_0\exp i(\omega t - k_+e + \frac{\theta}{2})[\cos\frac{\theta}{2}\vec{e}_x - \sin\frac{\theta}{2}\vec{e}_y]$, la polarisation est rectiligne tournée d'un angle $-\frac{\theta}{2}$ par rapport à la polarisation rectiligne d'entrée.

7. Polarisation rectiligne et circulaire

Réponses : $\vec{E} = E_0[\cos(\omega t - kz)\vec{e}_x + \sin(\omega t - kz)\vec{e}_y]$,
 $\vec{E} = \frac{E_0}{2}[\cos(\omega t - kz)\vec{e}_x + \sin(\omega t - kz)\vec{e}_y] + \frac{E_0}{2}[\cos(\omega t - kz)\vec{e}_x - \sin(\omega t - kz)\vec{e}_y]$, $\vec{E}_i = E_0\exp i(\omega t - kz)(\vec{e}_x + i\vec{e}_y)$
 CD et $\vec{E}_r = -E_0\exp i(\omega t + kz)(\vec{e}_x + i\vec{e}_y)$ CG d'où $\vec{E}_{tot} = 2E_0\exp i\omega t \sin kz[-i\vec{e}_x + \vec{e}_y]$ ondes stationnaires.